

чем многообразий без этих дополнительных структур. А для большинства аналогичных инвариантов соответствующие ТКТП имеют дело с еще более необозримыми множествами объектов. Здесь  $t$ -инвариант оказывается интересным как пример, позволяющий входить в тематику ТКТП ценой сравнительно небольших вычислений.

### Литература

- [1] Turaev, V. G. *State sum invariants of 3-manifolds and quantum 6j-symbols* / V. G. Turaev, O. Y. Viro // Topology. — 1992. — Vol.31. — P. 865 – 902.
- [2] Матвеев, С. В. *Построение и свойства  $t$ -инварианта* / С. В. Матвеев, М. А. Овчинников, М. В. Соколов // Записки научных семинаров ПОМИ. — 2000. — Vol.267. — P. 207 – 219.
- [3] Morimoto, K. *Some orientable 3-manifolds containing Klein Bottles* / K. Morimoto // Kobe J. Math. — 1985. — Vol.2. — P. 37 – 44.
- [4] Овчинников, М. А. *Построение простых спайнов многообразий Вальдхайзена* / М. А. Овчинников // Труды Международной конференции “Маломерная топология и комбинаторная теория групп. Челябинск 1999”. — Киев: Институт математики, 2000. — P. 65 – 86.
- [5] Ovchinnikov, M. A. *Values of the  $t$ -invariant for small Seifert manifolds* / M. A. Ovchinnikov // [Электронный ресурс]. — Режим доступа: Preprint. arXiv:math.GT/0806.2073, свободный.
- [6] Овчинников, М. А. *Представление гомеотопий тора простыми полиэдрами с краем* / М. А. Овчинников // Математические заметки. — 1999. — Vol.66,4. — P. 533 – 540.

УДК 515.162

## ВЕРХНИЕ ОЦЕНКИ СЛОЖНОСТИ МНОГООБРАЗИЙ, СКЛЕЕННЫХ ИЗ ДВУХ МНОГООБРАЗИЙ ЗЕЙФЕРТА С БАЗОЙ ДИСК И ДВУМЯ ОСОБЫМИ СЛОЯМИ E. A. Фоминых

### UPPER BOUNDS OF COMPLEXITY FOR GRAPH-MANIFOLDS OBTAINED BY GLUING TOGETHER TWO SEIFERT MANIFOLDS FIBERED OVER THE DISC WITH TWO EXCEPTIONAL FIBERS

*E. A. Fominykh*

*В работе доказана формула, позволяющая вычислять верхние оценки сложности граф-многообразий, склеенных из двух многообразий Зейферта с базой диск и двумя особыми слоями.*

*We prove a formula for an upper bound of complexity of graph-manifolds obtained by gluing together two Seifert manifolds fibered over the disc with two exceptional fibers.*

**Ключевые слова:** трехмерные многообразия, сложность.

**Keywords:** 3-manifolds, complexity.

Работа выполнена при поддержке гранта РФФИ (проект № 10-01-96035) и Программы, выполняемой совместно Институтом математики и механики УрО РАН и Институтом математики СО РАН (проект № 09-С-1-1007).

### 1. Введение

Пусть  $M$  — компактное трехмерное многообразие. Напомним [1], что подполиэдр  $P \subset M$  называется *спайном* многообразия  $M$ , если либо  $\partial M \neq \emptyset$  и многообразие  $M \setminus P$  гомеоморфно  $\partial M \times (0, 1]$ , либо  $\partial M = \emptyset$  и многообразие  $M \setminus P$  гомеоморфно открытому шару. Спайн  $P$  называется *почти простым*, если линк каждой его точки вкладывается в полный граф  $K_4$  с четырьмя вершинами. Точки, линки которых гомеоморфны графу  $K_4$ , называются *истинными вершинами* спайна  $P$ . *Сложность*  $s(M)$  многообразия  $M$  определяется как минимальное возможное число истинных вершин почти простого спайна многообразия.

Задача вычисления сложности трехмерных

многообразий является весьма трудной. В настолько время точные значения сложности известны только для табличных многообразий [2] и для нескольких бесконечных серий многообразий [3–7]. Поэтому проблема построения “потенциально точных” верхних оценок сложности довольно актуальна. Важные результаты в этом направлении были получены в работах [8–12]. В данной работе доказана формула, анонсированная в [13], позволяющая вычислять потенциально точные верхние оценки сложности граф-многообразий, склеенных из двух многообразий Зейферта с базой диск и двумя особыми слоями.

## 2. Верхние оценки сложности

Будем говорить, что замкнутое ориентируемое граф-многообразие принадлежит классу  $\Lambda$  тогда и только тогда, когда JSJ-разбиение этого многообразия состоит из двух многообразий Зейферта с базой диск  $D^2$  и двумя особыми слоями каждое. Пусть  $G$  — множество всех целочисленных матриц порядка 2 с определителем  $-1$ . Многообразия класса  $\Lambda$  удобно задавать *меченными молекулами* вида  $(M_1, M_2, A)$ , где

$$\begin{aligned} M_1 &= (D^2, (p_1, q_1), (p_2, q_2), (1, t_1)), \\ M_2 &= (D^2, (p_3, q_3), (p_4, q_4), (1, t_2)), \\ A &\in G, \end{aligned}$$

$(p_i, q_i)$  — пары взаимно простых целых чисел,  $t_1, t_2 \in \mathbb{Z}$ . Известно, что меченная молекула  $(M_1, M_2, A)$  полностью определяет некоторое многообразие  $M \in \Lambda$  следующим образом. Рассмотрим две копии  $N_1^2$ ,  $N_2^2$  двумерного диска  $D^2$  с двумя удаленными открытыми дисками. Границные окружности этих поверхностей обозначим через  $c_1, c_2, c'$  и  $c_3, c_4, c''$  соответственно. Ориентируем поверхности  $N_1^2$ ,  $N_2^2$  и многообразия  $N_1^2 \times S^1$ ,  $N_2^2 \times S^1$ . На каждом торе  $T_i = c_i \times S^1$ ,  $1 \leq i \leq 4$ , выберем систему координат, состоящую из ориентированных меридиана  $\mu_i = c_i \times \{\ast\}$  и параллели  $\lambda_i = \{\ast\} \times S^1$ . Ориентация меридиана индуцирована ориентацией соответствующей ему поверхности  $N_j^2$ ; параллель ориентируем так, чтобы вместе с внутренней нормалью к тору  $T_i$  меридиан и параллель давали выбранную ориентацию многообразия  $N_j^2 \times S^1$ . Аналогичным образом выберем системы координат  $\mu', \lambda'$  и  $\mu'', \lambda''$ , соответственно на торе  $T' = c' \times S^1$  и торе  $T'' = c'' \times S^1$ . Наконец, заменим две последние системы координат на системы  $\mu'(\lambda')^{t_1}, \lambda'$  и  $\mu''(\lambda'')^{t_2}, \lambda''$ . Итак, мы задали системы координат на граничных торах многообразий  $N_1^2 \times S^1$ ,  $N_2^2 \times S^1$ . Дальнейшее построение разбивается на два шага. На первом шаге мы получаем многообразия  $M_1$  и  $M_2$ , приклеивая к  $N_1^2 \times S^1$  и  $N_2^2 \times S^1$  полные торы  $V_i = D_i^2 \times S^1$ ,  $1 \leq i \leq 4$ , по гомеоморфизмам  $h_i : \partial V_i \rightarrow T_i$ , каждый из которых переводит меридиан  $\partial D_i^2 \times \{\ast\}$  полного тора  $V_i$  в кривую типа  $(p_i, q_i)$ . На втором шаге мы получаем многообразие  $M$ , склеивая между собой многообразия  $M_1$  и  $M_2$  по гомеоморфизму  $\varphi : T' \rightarrow T''$ , задаваемому матрицей  $A$ .

Будем говорить, что меченная молекула  $(M_1, M_2, A)$  многообразия класса  $\Lambda$  *приведена*, если  $t_1 = t_2 = -1$  и параметры  $(p_i, q_i)$  особых слоев удовлетворяют условию  $p_i > q_i > 0$ ,  $1 \leq i \leq 4$ .

Известно, что граф-многообразие не меняется при следующих операциях над меченной молекулой:

- $X_1$ ) перенумерация особых слоев одного атома;
- $X_2$ ) удаление или вставка неособого слоя атома типа  $(1, 0)$ ;

$X_3$ ) замена двух пар параметров  $(p_i, q_i)$ ,  $(p_j, q_j)$ ,  $i \neq j$ , слоев одного атома на пары  $(p_i, q_i + p_i)$ ,  $(p_j, q_j - p_j)$ ;

$X_4$ ) замена матрицы  $A$ , отвечающей выходящему из атома ребру, и пары параметров  $(p_i, q_i)$  слоя этого же атома на матрицу  $A \cdot \begin{pmatrix} 1 & 0 \\ 1 & 1 \end{pmatrix}^\varepsilon$  и пару  $(p_i, q_i + \varepsilon p_i)$ , где  $\varepsilon = \pm 1$ ;

$X_5$ ) замена матрицы  $A$ , отвечающей входящему в атом ребру, и пары параметров  $(p_i, q_i)$  слоя этого же атома на матрицу  $\begin{pmatrix} 1 & 0 \\ -1 & 1 \end{pmatrix}^\varepsilon \cdot A$  и пару  $(p_i, q_i + \varepsilon p_i)$ , где  $\varepsilon = \pm 1$ .

Несложно показать, что операций  $X_1 - X_5$  достаточно для преобразования произвольной меченной молекулы многообразия класса  $\Lambda$  в приведенную молекулу этого же многообразия.

Пусть  $S(p, q)$  — сумма всех неполных частных в разложении числа  $p/q$  в непрерывную дробь, где  $p, q$  — натуральные числа. Каждой матрице  $A \in G$  сопоставим число

$$\xi(A) = S(|a| + |b|, |c| + |d|).$$

Следующая теорема представляет основной результат статьи.

**Теорема.** Пусть  $(M_1, M_2, A)$  — приведенная меченная молекула многообразия  $M \in \Lambda$ . Тогда

$$c(M) \leq \max\{\xi(A) - 2, 0\} - 2 + \sum_{i=1}^4 S(p_i, q_i).$$

## 3. Построение спайнов

### 3.1. Простые относительные спайны

Тэта-кривой  $\theta \subset T$  на двумерном торе  $T$  будем называть граф, гомеоморфный окружности с диаметром, дополнение  $T \setminus \theta$  к которому есть открытый диск. Обозначим через  $\Theta(T)$  множество всех тэта-кривых на  $T$ . Хорошо известно, что произвольную тэта-кривую на торе можно преобразовать в любую другую тэта-кривую при помощи изотопии и так называемых *флип-преобразований* (см. рис. 1).

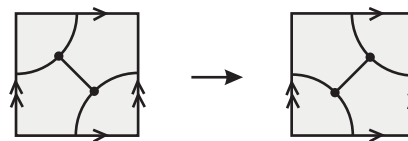


Рис. 1. Флип-преобразование

Пусть  $M$  — компактное ориентируемое трехмерное многообразие с фиксированным графом  $\Gamma \subset \partial M$ . Граф  $\Gamma$  будем называть *узором* на крае многообразия  $M$ . Обозначим через  $\mathcal{T}$  класс всех таких многообразий  $(M, \Gamma)$ , у которых каждая

компоненты  $T$  края  $\partial M$  является двумерным тором, а  $T \cap \Gamma$  есть тэта-кривая.

Подполиэдр  $P \subset M$  называется *относительным спайном* многообразия  $(M, \Gamma) \in \mathcal{T}$ , если выполнены три условия:

1.  $M \setminus P$  есть открытый шар.
2.  $\partial M \subset P$ .
3.  $\partial M \cap Cl(P \setminus \partial M) = \Gamma$ .

Относительный спайн  $P$  называется *простым*, если линк каждой точки  $x \in P$  гомеоморфен либо окружности (такая точка  $x$  называется *неособой*), либо окружности с диаметром (такая точка  $x$  называется *тройной* точкой), либо графу  $K_4$ .

Кратко напомним три примера простых относительных спайнов многообразий класса  $\mathcal{T}$ , построенных в [14]. Оказывается [15], с их помощью можно построить простой спайн любого замкнутого граф-многообразия.

**ПРИМЕР 1.** Пусть  $V$  — полноторие с фиксированным меридианом  $\mu$ . Выберем простую замкнутую кривую  $\ell$  на  $\partial V$ , дважды пересекающую  $\mu$  в одном и том же направлении. Заметим, что  $\ell$  разбивает  $\mu$  на две дуги. Рассмотрим тэта-кривую  $\theta_V \subset \partial V$ , состоящую из кривой  $\ell$  и одной из дуг меридiana  $\mu$ . Тогда многообразие  $(V, \theta_V)$  имеет простой относительный спайн без внутренних истинных вершин, образованный вложенным в полноторие  $V$  листом Мёбиуса и частью меридионального диска, ограниченного меридианом  $\mu$  (рис. 2а).

**ПРИМЕР 2.** Пусть  $\theta_1, \theta_2$  — такие тэта-кривые на торе  $T$ , что  $\theta_2$  получается из  $\theta_1$  одним флип-преобразованием. Тогда многообразие

$$(T \times [0, 1], (\theta_1 \times \{0\}) \cup (\theta_2 \times \{1\}))$$

имеет простой относительный спайн  $P$  с одной внутренней истинной вершиной (на рисунке 2(б)) тор  $T$  представлен в виде квадрата с отождествленными сторонами). Заметим, что  $P$  удовлетворяет следующим условиям:

- для каждого  $t \in [0, 1/2)$  тэта-кривая  $\theta_t$ , где  $P \cap (T \times \{t\}) = \theta_t \times \{t\}$ , изотопна  $\theta_1$ ;
- для каждого  $t \in (1/2, 1]$  тэта-кривая  $\theta_t$  изотопна  $\theta_2$ ;
- $P \cap (T \times \{1/2\})$  есть букет двух окружностей.

**ПРИМЕР 3.** Пусть  $N^2$  — диск с двумя удаленными открытыми дисками. Выберем в  $N^2$  произвольную внутреннюю точку и соединим ее дугой с каждой компонентой края  $\partial N^2$  так, чтобы эти дуги не имели общих внутренних точек. Построенный букет трех отрезков обозначим через  $Y$ . В многообразии  $N^2 \times S^1$  рассмотрим полиэдр  $P$ , являющийся объединением  $\partial(N^2 \times S^1)$ ,  $N^2 \times \{\ast\}$  и  $Y \times S^1$ . При этом удобно считать, что объединение  $(N^2 \times \{\ast\}) \cup (Y \times S^1)$  получается приклеекой  $Y \times [0, 1]$  к  $N^2 \times \{\ast\}$  посредством отображения  $\phi : (Y \times \{0\}) \cup (Y \times \{1\}) \rightarrow N^2 \times \{\ast\}$ . К сожалению, полиэдр  $P$  не является простым. Это легко исправить, меняя приклеивающее отображение  $\phi$  так, чтобы образы букетов  $Y \times \{0\}$  и  $Y \times \{1\}$  пересекались в точке, лежащей внутри их ребер (рис. 2(с)). Тогда новый полиэдр  $P$  является простым относительным спайном с тремя внутренними истинными вершинами многообразия  $(M, \Gamma) \in \mathcal{T}$ , где  $M = N^2 \times S^1$  и  $\Gamma = \partial M \cap Cl(P \setminus \partial M)$ .

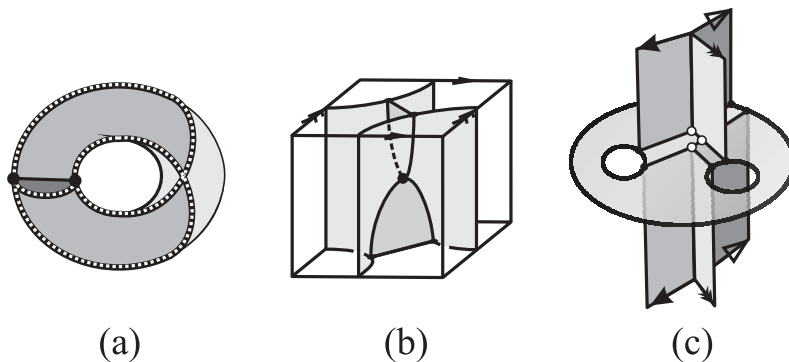


Рис. 2. Примеры простых относительных спайнов

### 3.2. Операция сборки

Пусть  $(M, \Gamma)$  и  $(M', \Gamma')$  — два многообразия из множества  $\mathcal{T}$  с непустыми краями и простыми относительными спайнами  $P$  и  $P'$ . Выберем два тора  $T \subseteq \partial M$ ,  $T' \subseteq \partial M'$  и гомеоморфизм  $\varphi : T \rightarrow T'$ , переводящий тэта-кривую  $\theta = T \cap \Gamma$  в тэта-кривую  $\theta' = T' \cap \Gamma'$ . Тогда можно построить новое многообразие  $(W, \Delta) \in \mathcal{T}$ , где  $W = M \cup_{\varphi} M'$  и

$\Delta = (\Gamma \setminus \theta) \cup (\Gamma' \setminus \theta')$ . Простой относительный спайн многообразия  $(W, \Delta)$  получается склейкой спайна  $P$  со спайном  $P'$  при помощи гомеоморфизма  $\varphi$  и удалением из объединения  $P \cup_{\varphi} P'$  открытого диска  $T \setminus \theta$  с диском  $T' \setminus \theta'$ . Будем говорить, что многообразие  $(W, \Delta)$  получается *сборкой* многообразий  $(M, \Gamma)$  и  $(M', \Gamma')$ .

Известно, что операции сборки достаточно для

построения простого относительного спайна многообразия  $(W, \Delta)$  в общем случае, когда тэта-кривые  $\varphi(\theta)$  и  $\theta'$  не изотопны. Введем на множестве  $\Theta(T)$  всех тэта-кривых на торе  $T$  функцию расстояния  $d$  полагая, что для данных тэта-кривых  $\theta, \theta' \in \Theta(T)$  число  $d(\theta, \theta')$  равно наименьшему числу флип-преобразований необходимых для перехода от  $\theta$  к  $\theta'$ .

**Лемма 1 [11, лемма 6].** *Пусть  $(M, \Gamma)$  и  $(M', \Gamma')$  – два многообразия из множества  $T$  с непустыми краями, имеющие простые относительные спайны с  $v$  и  $v'$  внутренними истинными вершинами. Пусть  $\varphi : T \rightarrow T'$  – такой гомеоморфизм тора  $T \subseteq \partial M$  на тор  $T' \subseteq \partial M'$ , что тэта-кривые  $\varphi(\theta)$  и  $\theta'$ , где  $\theta = T \cap \Gamma$  и  $\theta' = T' \cap \Gamma'$ , не изотопны. Тогда многообразие  $(W, \Delta)$ , где  $W = M \cup_{\varphi} M'$  и  $\Delta = (\Gamma \setminus \theta) \cup (\Gamma' \setminus \theta')$ , имеет простой относительный спайн с  $v + v' + d(\varphi(\theta), \theta')$  внутренними истинными вершинами.*

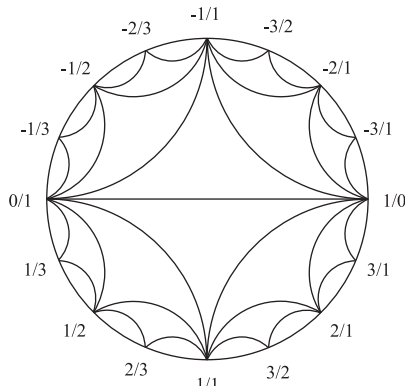


Рис. 3. Идеальная триангуляция гиперболической плоскости

Построим отображение  $\Psi_{\mu, \lambda}$  множества  $\Theta(T)$  на множество всех треугольников триангуляции  $\mathbb{F}$ , зависящее только от выбора системы координат  $\mu, \lambda$  на двумерном торе  $T$ . Для этого рассмотрим отображение  $\psi_{\mu, \lambda}$ , которое каждой нетривиальной простой замкнутой кривой  $\mu^\alpha \lambda^\beta$  на  $T$  соотносит точку  $\alpha/\beta \in \partial \mathbb{H}^2$  (ориентация кривой не важна). Заметим, что любая тэта-кривая  $\theta$  на  $T$  содержит три нетривиальные простые замкнутые кривые  $\ell_1, \ell_2, \ell_3$ , каждая из которых состоит из двух ребер тэта-кривой  $\theta$ . Так как индекс пересечения любых двух кривых  $\ell_i, \ell_j$ ,  $i \neq j$ , равен  $\pm 1$ , то точки  $\psi_{\mu, \lambda}(\ell_1), \psi_{\mu, \lambda}(\ell_2), \psi_{\mu, \lambda}(\ell_3)$  являются вершинами некоторого треугольника  $\sigma$  триангуляции Фарея. Итак, мы полагаем  $\Psi_{\mu, \lambda}(\theta) = \sigma$ .

Определим расстояние между треугольниками триангуляции Фарея как число ребер единственного простого пути в двойственном графе  $\Sigma$  триангуляции, соединяющего вершины, лежащие в данных треугольниках (путь единственный, поскольку  $\Sigma$  есть дерево). Ключевое для конкретных вычислений наблюдение заключается в том, что при любом выборе системы координат на торе расстояние между тэта-кривыми совпадает с

#### 4. Вычисление расстояний между тэта-кривыми

Для вычисления расстояния  $d$  между тэта-кривыми на торе мы будем использовать классическую идеальную триангуляцию Фарея  $\mathbb{F}$  гиперболической плоскости  $\mathbb{H}^2$ . В качестве модели плоскости  $\mathbb{H}^2$  рассмотрим верхнюю полуплоскость комплексной плоскости  $\mathbb{C}$ , ограниченную абсолютом  $\partial \mathbb{H}^2 = \mathbb{R} \cup \{\infty\}$ . Множество вершин триангуляции  $\mathbb{F}$  состоит из точек  $\mathbb{Q} \cup \{1/0\} \subset \partial \mathbb{H}^2$ , где  $1/0 = \infty$ . При этом две вершины  $a/c, b/d$  соединены ребром (геодезической в  $\mathbb{H}^2$ ) тогда и только тогда, когда  $ad - bc = \pm 1$ . Для удобства изображения на рисунке 3 приведен образ гиперболической плоскости  $\mathbb{H}^2$  и триангуляции  $\mathbb{F}$  при отображении  $z \rightarrow (z - i)/(z + i)$ .

расстоянием между соответствующими им треугольниками из  $\mathbb{F}$ . Это следует из того, что если тэта-кривая  $\theta'$  получается из тэта-кривой  $\theta$  одним флип-преобразованием, то соответствующие им треугольники имеют общее ребро.

Приведем два примера вычисления расстояний между треугольниками триангуляции Фарея. Обозначим через  $\sigma(\alpha_1/\beta_1, \alpha_2/\beta_2, \alpha_3/\beta_3)$  треугольник с вершинами  $\alpha_1/\beta_1, \alpha_2/\beta_2, \alpha_3/\beta_3$ , через  $\sigma(\alpha/\beta)$  – ближайший к  $\sigma(0/1, 1/0, 1/1)$  треугольник среди всех треугольников, имеющих вершину в точке  $\alpha/\beta$ .

**Лемма 2 [11, лемма 2].** *Для любого положительного рационального числа  $p/q$  расстояние между треугольником  $\sigma(0/1, 1/0, 1/1)$  и треугольником  $\sigma(p/q)$  равно  $S(p, q) - 1$ , где  $S(p, q)$  – сумма всех неполных частных в разложении числа  $p/q$  в непрерывную дробь.*

Рассмотрим второй пример. Сопоставим каждой целочисленной матрице  $A = \begin{pmatrix} a & b \\ c & d \end{pmatrix}$  с определителем  $\pm 1$  ребро  $e_A$  триангуляции Фарея с вершинами  $a/c$  и  $b/d$ . Обозначим через  $\sigma_A^+$  и  $\sigma_A^-$  примыкающие к ребру  $e_A$  треугольники

$\sigma(a/c, b/d, (a+b)/(c+d))$  и  $\sigma(a/c, b/d, (a-b)/(c-d))$ . Аналогично, единичная матрица  $E$  определяет треугольники  $\sigma_E^+ = \sigma(0/1, 1/0, 1/1)$  и  $\sigma_E^- = \sigma(0/1, 1/0, -1/1)$ . В следующей лемме мы предъявляем явную формулу для нахождения наименьшего расстояния между парами треугольников  $(\sigma_E^+, \sigma_E^-)$  и  $(\sigma_A^+, \sigma_A^-)$ .

**Лемма 3 [11, лемма 3 (i)].**

$$\min_{\rho, \eta \in \{+, -\}} d(\sigma_E^\rho, \sigma_A^\eta) = \max(\xi(A) - 2, 0)$$

## 5. Доказательство Теоремы

Пусть  $(M_1, M_2, A)$  — приведенная меченная молекула многообразия  $M \in \Lambda$ . Для упрощения доказательства теоремы выделим наиболее существенные моменты в отдельные утверждения.

В параграфе 2 мы построили многообразия  $N_1^2 \times S^1$ ,  $N_2^2 \times S^1$ , все компоненты края которых снабжены системами координат. Склейм эти многообразия по гомеоморфизму  $\varphi : T' \rightarrow T''$ , задаваемому матрицей  $A$ . Полученное многообразие обозначим через  $M_0$ .

Зададим узор  $\Gamma_0$  на крае многообразия  $M_0$ . Для этого мы введем понятие базовой тэтакривой. Пусть  $T$  — тор с фиксированной системой координат  $\mu, \lambda$ . Тэтакривая  $\theta$  на торе  $T$  называется *базовой*, если кривые  $\mu$  и  $\lambda$  изотопны кривым, содержащимся в  $\theta$ . С точностью до изотопии существует ровно две базовые тэтакривые: положительная и отрицательная. Базовую тэтакривую будем называть *положительной* и обозначать  $\theta^+$ , если  $\Psi_{\mu, \lambda}(\theta^+) = \sigma_E^+$ . Аналогично, базовая тэтакривая  $\theta^-$  называется *отрицательной*, если  $\Psi_{\mu, \lambda}(\theta^-) = \sigma_E^-$ . В качестве узора  $\Gamma_0$  выберем объединение четырех положительных базовых тэтакривых  $\theta_i^+ \subset T_i$ ,  $1 \leq i \leq 4$ , на крае многообразия  $M_0$ .

**Предложение 1.** *Описанное выше многообразие  $(M_0, \Gamma_0)$  имеет простой относительный спайн с  $\max(\xi(A) - 2, 0) + 6$  внутренними истинными вершинами.*

**Доказательство.** На каждом из граничных торов  $T', T''$  зададим узор, являющийся базовой тэтакривой. Тип (положительный или отрицательный) базовых тэтакривых  $\theta' \subset T'$ ,  $\theta'' \subset T''$  выбирается так, чтобы число  $d(\varphi(\theta'), \theta'')$  было наименьшим из возможных. Из леммы 3 следует, что  $d(\varphi(\theta'), \theta'') = \max(\xi(A) - 2, 0)$ . Нам осталось показать, что каждое из многообразий  $(N_1^2 \times S^1, \theta_1^+ \cup \theta_2^+ \cup \theta')$ ,  $(N_2^2 \times S^1, \theta_3^+ \cup \theta_4^+ \cup \theta'')$  имеет простой относительный спайн с 3 внутренними истинными вершинами. Достаточно рассмотреть первое многообразие.

Напомним, что на каждом торе  $T_i$ ,  $1 \leq i \leq 2$ , выбрана система координат  $\mu_i, \lambda_i$ , тогда как на то-

ре  $T'$  выбрана система координат  $\mu'(\lambda')^{-1}, \lambda'$ . Если вернуться к первоначальной системе координат  $\mu', \lambda'$  тора  $T'$ , то пользуясь методом примечания 3 можно построить два простых относительных спайна многообразия  $N_1^2 \times S^1$ , которые индуцируют узоры на  $\partial(N_1^2 \times S^1)$ , состоящие либо из двух положительных и одной отрицательной, либо из одной положительной и двух отрицательных базовых тэтакривых. Можно считать, что на торе  $T'$  эти спайны индуцируют отрицательные базовые тэтакривые. Поэтому в системе координат  $\mu'(\lambda')^{-1}, \lambda'$  на торе  $T'$  эти же спайны индуцируют узоры на  $\partial(N_1^2 \times S^1)$ , состоящие либо из трех положительных, либо из двух положительных и одной отрицательной базовых тэтакривых  $\theta_1^+, \theta_2^+, \theta'$ .

**Предложение 2 [11, предложение 2].**

*Пусть  $T$  — компонента края многообразия  $(M, \Gamma) \in \mathcal{T}$  с фиксированной системой координат. При этом  $T \cap \Gamma$  есть положительная базовая тэтакривая на  $T$ . Предположим, что многообразие  $(M, \Gamma)$  имеет простой относительный спайн с  $v$  внутренними истинными вершинами. Тогда многообразие  $(W, \Delta)$ , получающееся заклейкой компоненты  $T$  края  $\partial M$  полноторием с параметрами  $(p, q)$ , где  $p > 0, q > 0$  и  $\Delta = \Gamma \setminus (T \cap \Gamma)$ , имеет простой относительный спайн с  $S(p, q) - 2 + v$  внутренними истинными вершинами.*

**Доказательство Теоремы.** Последовательно применяя предложения 1 и 2 мы построим простой спайн многообразия  $M$  с  $\max\{\xi(A) - 2, 0\} - 2 + \sum_{i=1}^4 S(p_i, q_i)$  внутренними истинными вершинами.

## Литература

- [1] Матвеев, С. В. Алгоритмическая топология и классификация трехмерных многообразий / С. В. Матвеев. – М.: МЦНМО, 2007 – 456 с.
- [2] Matveev, S. *Atlas of 3-manifolds* / S. Matveev, E. Fominykh, V. Tarkaev // [Электронный ресурс]. – Режим доступа: <http://www.matlas.math.csu.ru>, свободный.
- [3] Frigerio, R. *Complexity and Heegaard genus of an infinite class of compact 3-manifolds* / R. Frigerio, B. Martelli, C. Petronio // Pacific J. Math. – 2003. – Vol. 210. – P. 283 – 297.
- [4] Anisov, S. *Complexity and Heegaard genus of an infinite class of compact 3-manifolds* / S. Anisov // Mosc. Math. J. – 2005. – Vol. 5, no. 2. – P. 305 – 310.
- [5] Jaco, W. *Minimal triangulations for an infinite family of lens spaces* / W. Jaco, H. Rubinstein, S. Tillmann // J. Topology. – 2009. – Vol. 2, no. 1. – P. 157 – 180.
- [6] Jaco, W. *Coverings and minimal triangulations of 3-manifolds* / W. Jaco, H. Rubinstein, S. Tillmann // Algebraic & Geometric

- Topology. – 2011. – Vol. 11, no. 3. – P. 1257 – 1265.
- [7] Веснин, А. Ю. Точные значения сложности многообразий Паолюци – Циммермана / А. Ю. Веснин, Е. А. Фоминых // Докл. Акад. наук – 2011. – Том 439, No. 6. – С. 727 – 729.
- [8] Martelli, B. *Complexity of geometric 3-manifolds* / B. Martelli, C. Petronio // Geom. Dedicata. – 2004. – Vol. 108. – P. 15 – 69.
- [9] Веснин, А. Ю. Двусторонние оценки сложности многообразий Лёбеля / А. Ю. Веснин, С. В. Матвеев, К. Петронио // Докл. Акад. наук – 2007. – Том 416, No. 3. – С. 295 – 297.
- [10] Matveev, S. *Two-sided asymptotic bounds for the complexity of some closed hyperbolic three-manifolds* / S. Matveev, C. Petronio, A. Vesnin // J. Australian Math. Soc. – 2009. – Vol. 86, no. 2. – P. 205 – 219.
- [11] Фоминых, Е. А. Верхние оценки сложности для бесконечной серии граф-многообразий / Е. А. Фоминых // Сиб. электр. мат. изв. – 2008. – Том 5. – С. 215 – 228.
- [12] Фоминых, Е. А. Хирургии Дена на узле восьмерка: верхняя оценка сложности / Е. А. Фоминых // Сиб. мат. журн. – 2011. – Том 52, No. 3. – С. 680 – 689.
- [13] Fominykh, E. *On the complexity of graph-manifolds* / E. Fominykh, M. Ovchinnikov // Сиб. электр. мат. изв. – 2005. – Том 2. – С. 190 – 191.
- [14] Овчинников, М. А. Представление гомотопий тора простыми полиэдрами с краем / М. А. Овчинников // Мат. заметки. – 1999. – Том 66, No. 4. – С. 533 – 539.
- [15] Овчинников, М. А. Построение простых спайнов многообразий Вальдхаузена / М. А. Овчинников // Сб. трудов Межд. конф. “Маломерная топология и комбинаторная теория групп”. – Киев: Институт математики НАН Украины, 2000. – С. 65 – 86.